

挡潮闸的设计与施工

江苏省水利厅编

水利电力出版社

3
6

前　　言

我国苏北地区，自1949年全国解放以来，已建有大中型主要挡潮闸15座，在设计和施工方面，虽已积累若干经验，但尚少系统整理分析；这些挡潮闸的基本特点有二，其一为内水受潮流影响，水力因素复杂，过闸流量不易正确推算，故其合理简化之计算方法，对排洩洪涝是具有重大实际意义的问题，另一为它們全是無樁基础，其中对高压缩性海洋沉积层软地基的处理和相应的結構选型等常为迫切要求合理解决的问题。本文共分七篇，仅就挡潮闸孔徑及頂高計算，与一般結構、地基处理以及攔河坝工程的設計和施工等方面作重点的介紹与简略論述。

关于潮水河过闸流量之計算，于第二篇中分別叙述了合成波理論及埝流公式等兩种方法，并以射阳河闸为例作典型介紹，上述挡潮闸中有大浦闸、善后闸、五圖闸及南潮闸等4座的地基曾作人工处理，所采用的处理方法，主要为打砂井預压加固及地基持力層換填黃砂等兩种，仅大浦闸采取砂井預压加固办法，其他3座均用換黃沙的方法改善地基。1957年春所建的阜宁腰闸，是苏北灌溉总渠中的节制闸，地基曾进行較大规模的換填黃沙的处理。故在第三篇及第五、六兩篇中所述有关地基处理的設計和施工，主要以上述兩闸的資料作重点叙述与分析。

此外，1950年以来，历次在潮水河內堵筑攔河坝，以淤泥深，潮位变化大，在施工技术上亦为一較复杂的問題，我們一般都采用、柴石枕护底的柴土席扫坝并以柴石枕合龙的办法堵筑，于第七篇中詳細介紹。

由于有关潮水河的波动理論，水力因素，消能与滲透，地基、底板和护坦的应力情况，以及闸下淤积冲刷等问题，尚少深入分析与驗証，故尚須更进一步研究改进，以臻完善。

目 录

第一篇 概况	4
第二篇 擋潮閘孔徑及頂高計算	5
§ 2-1 潮水河道的特点及擋潮閘的作用	5
§ 2-2 擋潮閘的孔徑計算	7
§ 2-3 擋潮閘頂高計算	27
第三篇 一般結構及地基處理的設計	33
§ 3-1 結構設計	33
§ 3-2 結構選型	36
§ 3-3 地基處理的設計	39
§ 3-4 設計中的幾點意見	44
第四篇 閘門的啓閉操縱	49
§ 4-1 閘門啓閉機的一般布置	49
§ 4-2 閘門啓閉機的操作方法	50
§ 4-3 操縱設備的布置及性能	50
§ 4-4 閘門空氣啟動存在問題的分析	55
第五篇 基礎換砂工程的施工	61
§ 5-1 选料試驗	61
§ 5-2 操作方法的現場試驗與研討	69
§ 5-3 施工概要	76
§ 5-4 結語	78
第六篇 大浦閘砂井預壓工程的施工	82
§ 6-1 总述	82
§ 6-2 資料	84
§ 6-3 砂井預壓的施工經過	85
§ 6-4 沉降觀測及初步分析	89
§ 6-5 結論及意見	97
第七篇 擋河壩的設計和施工	103
§ 7-1 前言	103
§ 7-2 勘測與設計	103
§ 7-3 怎樣施工	107

第一篇 概 况

江苏省苏北地区，临洪口以南，海岸綫長約450公里，貫穿11个县、市，主要入海水系約30条，皆受潮汐影响；自1949年解放以来已建大中型擋潮閘15座，最大者为射陽河閘，計35孔，最小者为大浦閘，計3孔；主要为地区排澇、擋潮及灌溉而設，在农业生产中發揮了極大作用[表(1-1)及圖(1-1)見插頁]。

一般地勢由西向东傾斜，而里运河以东、灌溉总渠以南的苏北主要灌溉区域——里下河地区——約14,000平方公里，地勢平衍，高程平均自2—4公尺（廢黃河零点为基准）。其他地区，除北部之徐州專区，及淮陰專区之西部为山陵外，一般平原地面高程自3—6公尺。

苏北雨量分布，在徐淮地区多年平均年雨量为800公厘，最大年雨量为1,400公厘，最小为260公厘；里下河地区多年平均年雨量为950公厘，最大雨量为1,759公厘，最小为491公厘。

地基土質：

苏北沿海地基土質比較复杂，土層分布不均，大体上可分为三类：

(一)粉土性細沙，貫入击数一般大于15击，可为建筑物的較良好地基，如三倉閘、小洋口閘等，一般自然含水量自25%—35%，自然么重約1.9吨/立方公尺，內摩擦角約30°左右，凝聚力接近于零。

(二)粉土性粘土，自地面下厚达10余公尺，貫入击数一般小于1击或1击—2击，土層中并夾有有机質与薄層細沙或細沙团，地基承载力很小，压缩性很大，地基条件很差，如五圖河閘、善后河閘、大浦閘、阜宁腰閘等，均屬此类，一般自然含水量約在40%—60%，稠度大于1.0，自然么重1.6—1.8吨/立方公尺，內摩擦角4°—8°，凝聚力在0.1公斤/平方公分左右，允許旁脹抗压强度在0.1—0.5公斤/平方公分之間。

(三)第三类土質介乎第一、第二类之間，表層为粉土性細沙或沙質壤土，貫入击数一般大于10击，而自表層下3—10余公尺，则为2—4击粉質軟粘土，属于一种軟土下臥層的地基，如射陽河閘、新洋港閘、六垛南閘等。茲將苏北沿海部份的擋潮閘土質勘探試驗成果表詳列于表1-2(見插頁)。

第二篇 擋潮閘孔徑及頂高計算

§ 2-1 潮水河道的特点及擋潮閘的作用

(一) 潮水河道的特点

苏北入海河口皆受潮汐影响，每日水位涨落两次，周期約为 12.4 小时（圖2-1）。

潮水位涨落的形式繁多，随河口地形、上游来水、河道坡度等因素而異，圖 2-2 是河口寬深的潮水位过程綫圖 2-3 是河口淺窄的潮水位过程綫，低潮水位受河道限制，沒有真正出現；圖 2-4 是受上游来水影响極大的潮水位过程綫。低潮水位在洪峯时甚至消失。圖 2-5 是受高潮倒灌河道的潮水位过程綫。每月朔望后一至三日内出現大潮，上下弦后一至三日内，则出現小潮。

潮水河道須具有若干个全潮水位站的資料时，才能繪出逐时的潮水位綫（圖 2-6），大致看出水流方向的变化情况，如响水口站高潮水位比海口高，而倒灌現象却严重存在（圖中虛線）；但在特殊情况下还不能單从水面比降判断水流方向，如港口收縮很快时（圖 2-7）漲潮倒灌受阻較

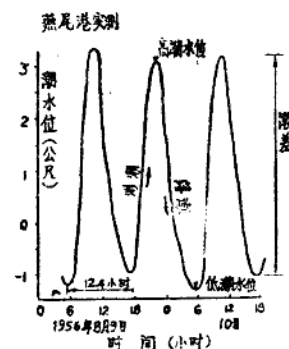


圖 2-1 潮水位曲綫示意圖

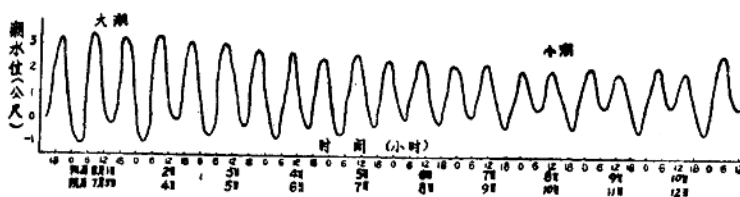


圖 2-2 新沂河燕尾港站潮水位过程綫（1954 年 8 月）

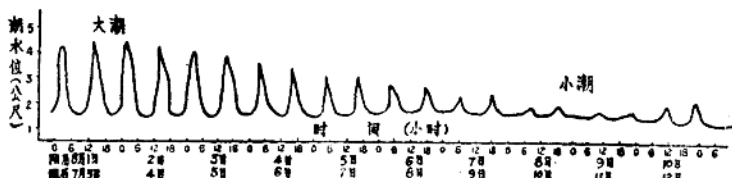


圖 2-3 小洋口站潮水位过程綫（1954 年 8 月）

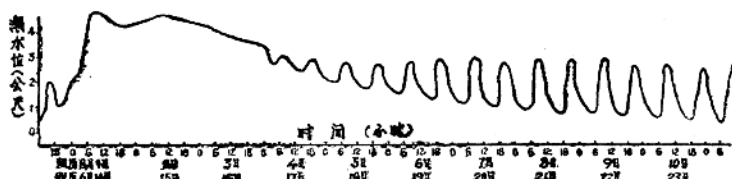


圖 2-4 新沐河小东关站潮水位过程綫（1955 年 8 月）

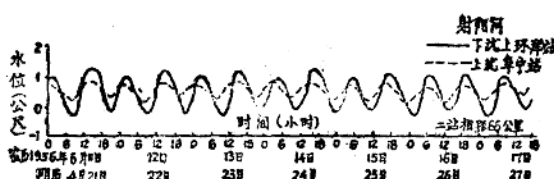
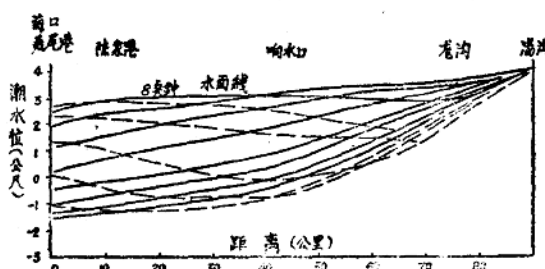


圖 2-5 受高潮倒灌河道的潮水位過程線

圖 2-6 灌河潮水面線變化曲線——大水期
(1954年7月18日早潮實測)

的河道中，水位流量与一般河道相反，往往水位越高时流量越小或成负流量，水位越低时流量越大（圖2-9），前者因漲潮頂托或倒灌之故，后者因落潮退水之故，但其間並無穩定的關係，系一變向變量變速流，水流情況相當複雜，這就是潮水河道的主要特點。

（二）擋潮閘的作用

擋潮閘之主要作用是擋潮，御滬，提高排水能力，以及蓄水灌溉與航運，茲分別簡述於下：

1) 擋潮御滬：

蘇北沿海平原地區受潮汐危害甚大，而在發生海嘯或特大台風時尤甚，如江蘇濱海縣1939年海嘯水深2公尺，侵入陸地數十里淹死一萬三千餘人，二十余萬畝棉田嚴重鹽漬化，如不經土壤改良五年才生蘆葦，十年才能耕作。如沿海築有海堤及擋潮閘，便可擋潮御滬。

2) 提高排水能力：

大，部分動能轉為位能，下游水位較低時也會逆流倒灌，因此還需參考水面線的變化（上升抑下降）確定水流方向。

潮水河道除少數具有穩定的水位、流量關係外（圖2-8）大部找不到很好的關係，尤其在高潮倒灌

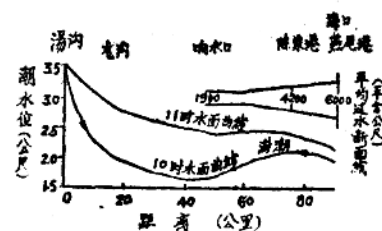
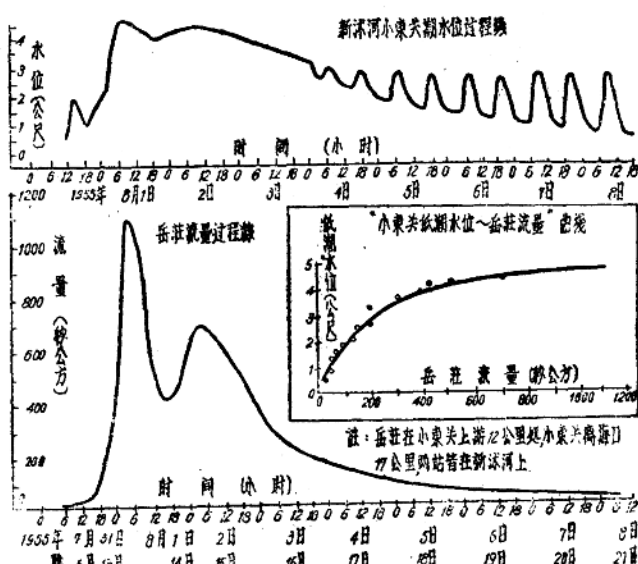
圖 2-7 灌河海口的漲潮水面線
(1954年7月1日10時)

圖 2-8 低潮水位與上游來量有關

入海河道在汛期排水之时，不但要受高潮顶托，一般平原河道都受高潮倒灌，严重影响排水，造成涝灾，且如河床土质较差，潮汐久经吞吐侵蚀，以致河形弯曲，河段变长，排水能力愈益减弱；建闸之后，不但防止上游倒灌冲刷，且免除倒灌水量之排水负担，因此显著提高排水能力，如射阳河建挡潮闸后，平均排水四百多秒公方增加排水能力达四倍左右（图2-10）。

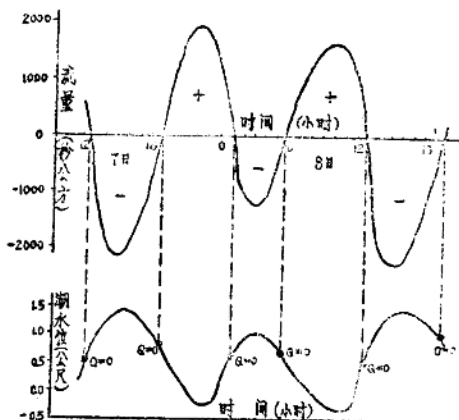


图 2-9 射阳河潮水位～流量过程线
(1954年6月)

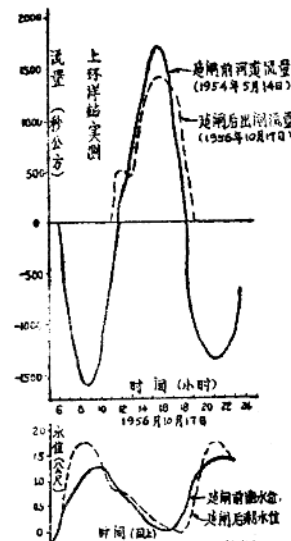


图 2-10 射阳河挡潮闸兴建前后
流量过程线比较 (低潮水位)

3) 灌溉与航运：

蓄水之季，如海口潮汛不大，内河灌溉用水便大量流入海中，加重旱年灾害；同时内水太低，航运随之中断。如兴建挡潮闸便可关闸控制，蓄积淡水灌溉与通航。

S 2-2 挡潮闸的孔径计算

挡潮闸的孔径须在规定情况下能最经济合理的排除设计流量；由于潮水水力因素，情况复杂，建闸之后，更改变了原有河道的水流情况，一般水力学公式难以直接应用，故需有一合理而简化的计算方法，并需求得与河道最经济之配合方案。

关于孔径的合理正确计算方法，首先须正确定出闸上下水位，然后应用合理的过闸流量公式以确定闸孔，过去对闸上较复杂之水位，我们曾作若干不同的假定，但均嫌不切实际，故难期合理，现在从实践中摸索得一比较简单合理的方法，介绍于后：

如闸下潮水位的涨落不影响过闸流量时，可直接应用普通水力学公式计算过闸流量，方法简易，不予赘述。如闸下潮水位的涨落直接影响过闸流量时，则计算较复杂，须间接应用水力学公式或在特殊情况下应用合成波公式计算，见参考文献(1)及(2)。由于详细计算的工作量极大，在实际工作中往往须采用简化方式，兹分述于下：

(一) 闸上半日河川水库蓄洩能力的简化计算法

在高潮倒灌的河道中兴建挡潮闸后，汛期当闸下潮水位下跌时，开闸放水，闸下潮

水位上涨时关闭拦潮倒灌，但关闭时闸上河道的上游仍不断来水，乃蓄于闸上河道的河床中，闸上水位便随着上涨，当闸下潮水位下跌而低于闸上水位时，又开闸排水，闸上河床所积之水出闸而去，闸上水位复又下跌（图2-11）因此，闸上河床成为一个临时调节的蓄水库，随着每次潮水位的涨落水库随着调节一次，每次潮水位涨落约半日，乃称它为闸上半日河川水库，或简称为河川水库。

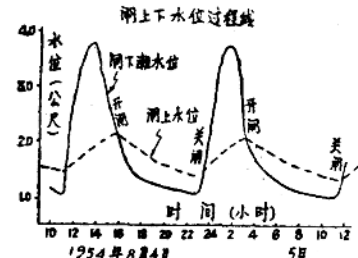


图 2-11 小洋口拦潮闸实测“潮水位~过闸流量”

闸上河川水库的水流情况属于变量变速流，各地的

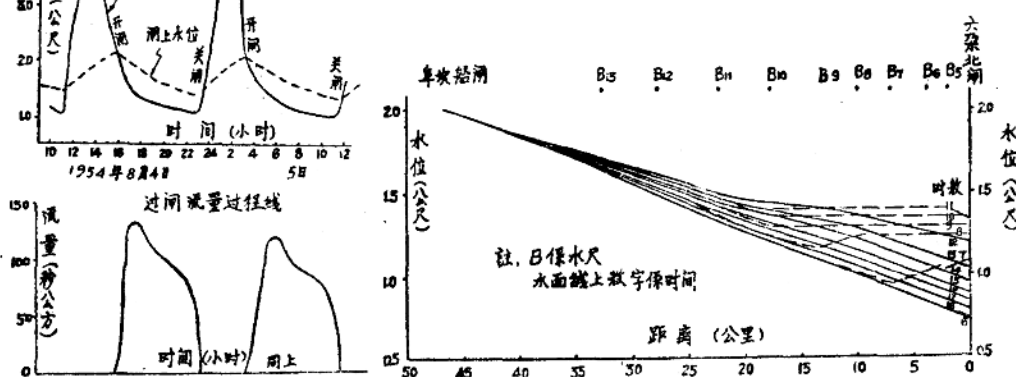


图 2-12 实测六狸北闸（拦潮闸）闸上河道逐时水面线
(1954年7月15日6~18时)

水位流量及流速不断地变化着，河川水库的水面线也逐时地变化着（图2-12）。

由于闸上河川水库逐时实测的水面线并不能在建闸前测得，且闸上河川水库的计划断面也不一定和目前的河道断面相同，因此在规划设计拦潮闸的阶段，需通过计算求得河川水库的逐时水面线，这样便使计算极为复杂，否则便要通过模型试验来解决，但规划阶段方案很多，都要求做于模型试验，在时间上、财力上、物力上都不允许，而且模型试验中的快速测流问题尚未解决，因此，寻求一个比较简便而成果符合客观情况的计算方法是非常迫切需要的。目前采用如下简化方法：

(1) 计算公式：用变量流的动力平衡方程式及连续方程式来解决这个问题。

1. 动力平衡方程式：变量流瞬时自由表面形态的基本微分方程式为：

$$i = -\frac{\partial h}{\partial x} = \frac{V^2}{C^2 R} + \frac{1}{g} (V \frac{\partial V}{\partial x} + \frac{\partial V}{\partial t}) \quad (2-1)$$

式中 i = 二站间的平均水面比降，

$$V = \text{二站间的平均流速即 } \frac{V_1 + V_2}{2},$$

V_1 为上游站的平均流速， V_2 为下游站平均流速。

h = 二站间平均水位高程；

C = 截塞系数；

R = 两站的平均水力半径；

g = 重力加速度；

x = 距离；

t = 时间。

將(2-1)式改為有限差形式得：

$$i = \frac{V^2}{C^2 R} + \frac{1}{g} \left(V \frac{\Delta V}{\Delta x} + \frac{\Delta V}{\Delta t} \right) \quad (2-2)$$

式中： $\Delta V = V_2 - V_1$, Δt 時段內兩站間流速變化的平均值 = $\frac{\Delta V_1 + \Delta V_2}{2}$; Δx = 兩站間距。

$\frac{\Delta V}{\Delta x}$ 為不同地方的流速變化率， $\frac{\Delta V}{\Delta t}$ 為不同時間的流速變化率。

2. 繼續方程式：表示河道流進、流出與蓄量間的關係。

$$\text{微分方程式為：} \quad -\frac{\partial Q}{\partial x} = -B \frac{\partial h}{\partial t} \quad (2-3)$$

式中 Q —— 為兩站間的平均流量。

B —— 為兩站間的平均水面寬。

$$\text{將(2-3)式 改為有限差形式得：} \quad \Delta Q = -\frac{B \Delta x \Delta h}{\Delta t} = -\frac{\Delta S}{\Delta t} \quad (2-4)$$

式中 ΔQ 為兩站間在 Δt 時段內的平均流量差。

Δh 為兩站間在 Δt 時段內的平均水位差。

ΔS 為兩站間在 Δt 時段內的平均蓄量差。

3. 公式的應用與簡化：在規劃階段，方案繁多，為了擺脫繁複的數學計算工作，而著力於方案的經濟比較上，上述公式在實踐中還嫌複雜，尤其在天然河道中兩岸不斷有支流匯入的情況下更顯得突出，乃採用河道分段及時間分段的計算方法，使 ΔV 漸趨於零，簡化了計算工作(2-2)及(2-4)式便成：

$$i = \frac{V^2}{C^2 R} = \frac{\bar{Q}^2}{A^2 C^2 R} \quad (2-5)$$

$$\bar{Q}_2 - \bar{Q}_1 = \frac{\Delta S}{\Delta t} \quad (2-6)$$

式中 \bar{Q}_2 為某河段下游在 Δt 時段內的平均出流量， \bar{Q}_1 為某河段上游在 Δt 時段內的平均進流量， ΔS 為某河段在 Δt 時段內下洩的蓄量。

今將閘上半日河川水庫分為若干段 L_0, L_1, L_2, \dots …(圖2-13)在 t 時水面線為 $H_0, H_1, H_2, H_3, \dots$ 擋潮閘開闢經 Δt 時段後，水面線為 $H'_0, H'_1, H'_2, H'_3, \dots$ 各河段在 Δt 時段內下洩的蓄量為 $\Delta S_0, \Delta S_1, \Delta S_2, \dots, H_0$ 為迴水終點， \bar{Q}_0 為 Δt 時段內上游平均來量，則某河段在 Δt 時段內的平均出流量由(2-6)式為：

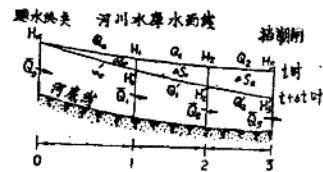


圖 2-13 各河段水面線的瞬時流量 Θ

$$\bar{Q}_n = \bar{Q}_0 + \sum_{i=0}^{n-1} \frac{\Delta s_i}{\Delta t} \quad (2-7)$$

如第一河段的平均出流量 $\bar{Q}_1 = \bar{Q}_0 + \frac{\Delta s_0}{\Delta t}$ ，第二河段 $\bar{Q}_2 = \bar{Q}_0 + \frac{\Delta s_0}{\Delta t} + \frac{\Delta s_1}{\Delta t}$ 等。若沿岸

還有支流匯入(圖2-14)該時段平均支河來量為 \bar{Q}_z ，則(2-7)式可改為：

$$\bar{Q}_n = \bar{Q}_0 + \sum_{i=0}^{n-1} \frac{\Delta s_i}{\Delta t} + \sum_{i=0}^{n-1} \bar{Q}_i, \quad (2-8)$$

为了减少河段本身的繁复试算工作，乃将各河段的平均出流量近似地用如下一河段的平均流量即 $\bar{Q}_1 = \frac{Q_1 + Q'_1}{2}$, $\bar{Q}_2 = \frac{Q_2 + Q'_2}{2}$ 等。

(見圖 2-13)。其中 Q_1, Q_2 各为 t 时的 0—1 及 1—2 分段流量, Q'_1, Q'_2 各为 $t + \Delta t$ 时的第 0—1 及 1—2 分段流量, 均可由下述 “ $H—H—Q$ ” 曲綫查得, 有了河段的平均流量便可用 (2-5) 式推算該河段的水面比降。

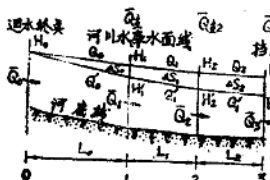


圖 2-13 各河段自由表面的瞬時流量 \bar{Q}

应用上述近似简化公式計算河川水庫各段流量, 开閘时成果稍大, 关閘时稍小, 日平均流量的誤差約可抵消。

(2) 計算步驟:

1. 收集資料: 具有該河的縱橫斷面或設計縱橫斷面地形圖、糙率、迴水終點及閘址等資料, 便可開始工作。

2. 河道分段: 自閘址至迴水終點將河川水庫分为若干段, 普通下游河段应較上游河段短些, 因为下游河段受河川水庫的蓄水影响較大。分段的多寡需視河道長短及精度要求等而有不同, 如河道長而要求高时, 分段越多越好, 一般可將河川水庫分为三至十段, 每段五至三十公里, 河段的分界綫最好在支河口上。

3. 繪制各河段的“水位~水位~流量”曲綫, 用动力平衡方程式 (2-5) 求出各河段不同上下游水位情况下的流量, 点繪成“水位~水位~流量”曲綫 (圖2-14), (即 “ $H—H—Q$ ” 曲綫) 如知其中任意二值, 便可查得第三值。

4. 繪制各河段的“水位~水位~蓄量”曲綫: 利用某河段“水位~水位~流量”曲綫計算中已求得之水面綫, 根据各河道横断面的“水位~面积”曲綫, 便可求得該水面綫下的河道蓄量 S (圖2-15)

$$S = \frac{A_0 + A_1}{2} l_{01} + \frac{A_1 + A_2}{2} l_{12} + \cdots + \frac{A_n + A_{n+1}}{2} l_{n(n+1)}$$

$$= \sum_{i=0}^n \frac{A_i + A_{i+1}}{2} l_{i(i+1)} \quad (2-9)$$

式中 A 为过水面积, l 为兩相鄰断面間距, 如間距相等, 則

$$S = \left(\frac{A_0 + A_{n+1}}{2} + \sum_1^n A_i \right) l \quad (2-10)$$

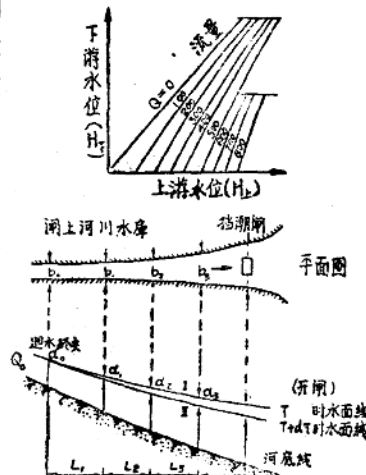


圖 2-14 水位~水位~流量曲綫

根据某河段的上下游水位及求得的蓄量便可点繪成“水位～水位～蓄量”曲线（圖2-16）（即“H-H-S”曲线）。

5. 求各河段支河来量：通过水文計算，求得各河段不受潮水影响时的理想来量。

6. 計算各河段出流量：由(2-8)式

$$\bar{Q}_n = \bar{Q}_0 + \sum_0^n \frac{\Delta S}{\Delta t} + \sum_0^n \bar{Q}_{\text{支}}$$

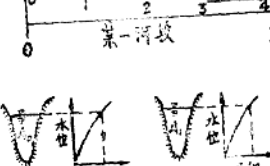
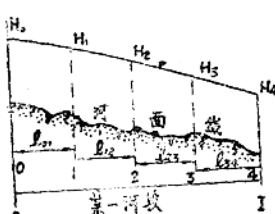


圖 2-15 河道蓄量

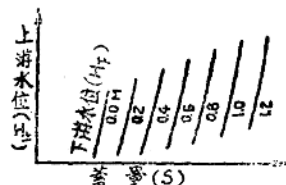


圖 2-16 水位～水位～蓄量曲綫

式中 $\bar{Q}_0 = \frac{Q_0 + Q'_0}{2}$, Q_0 及 Q'_0 可在該河段的“水位～水位～流量”曲綫中，用該时段始末的上下游水位查得； ΔS 用該时段始末的上下游水位在該河段的“水位～水位～蓄量”曲綫中查得。如在 0-1 河段中，时段始用 H_0, H_1 查得河道蓄量为 S_0 ，时段末用 H_0, H_1' 查得 S_1 。则 $S_1 - S_0 = \Delta S$ ； Δt 为采用时段，如半小时等； $\bar{Q}_{\text{支}}$ 为支河該时段平均来量，随河川水库水位的涨落而逐时不同，其变化情况不易马上求得，如影响于流不大，可假設与干河流量变化相似，例如該河段支流与干流相应的理想流量比值为 $\frac{\bar{Q}_{\text{支}}}{\bar{Q}_0} = \beta_1$ ，已

求得于河該时段平均流量为 \bar{Q}_0 则 $\bar{Q}_{\text{支}} = \beta_1 \bar{Q}_0$ 至此。(2-8)式右方各值皆可求得，相加即得 Q_n 余詳后例。

(二) 閘下标准潮型的选择

閘下潮水位曲綫直接影响过閘流量之大小，故需慎重选择标准潮水位曲綫作为設計依据；首先應該分析对排水最为不利的最高潮水位及最高的低潮水位产生的原因，一般可分三种类型：

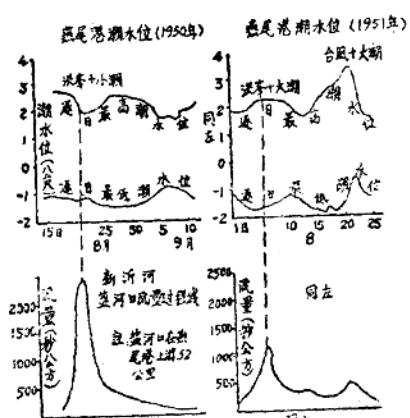


圖 2-17 最高潮水位主要受台風影响

(1) 主要受台風影响，而受上游来水影响不大者，河道平坦而河口寬深的潮水位多屬此类

(圖 2-2) 大潮遇台風，形成高潮水位最高，低潮水位亦因高潮时灌入水量較多，一时不易退尽，低潮水位也較高（有时不明显）。上游洪峰来时，有时也能抬高水位，但远不如台風抬高的多（圖 2-17）。

关于潮水位与上游洪峰的遭遇問題，詳細研究尚有困难，前者与台風等有关，后者与暴雨有关，两者并無内在联系。由于年最高潮水位与洪峰的出現，并不一定同时相遇，因此还应注意統計中的同时性，为此才能进行組合頻率計算，但两者所出現的时间也不固定，在实用上这个方法

未能完全解决問題。目前有人采用同頻率的方法进行組合，即設計 20 年一遇排水标准的閘孔时，采用 20 年一遇的洪峰流量与 20 年一遇的潮水位曲綫相遇，在洪峰与潮水位無关的情况下采用此法显然保守，所得的閘孔标准远大于 20 年一遇。反之，如采用出現次数最多的平均或尋常潮水位曲綫則又不安全，因为碰到更高潮水位的机会太多，而使排水标准得不到可靠保証。因此以洪峰頻率为主，閘下標準潮型采用历年最高潮水位的平均值較为合适，它不是很难碰到也不是經常碰到。由于最高的高、低潮水位也不一定同时出現，因此当標準潮型的高潮水位为历年平均最高值时，则其低潮水位可用相应之值，（在实測資料中找得）；当低潮水位为历年平均最高值时，则其高潮水位可用相应之值，最后通过計算采用其中对排水最不利的一个潮型作为設計閘孔的閘下標準潮型。

历年最高潮水位采用几天的最高值呢？这要根据排水的控制条件而定，如河道及閘孔系按最高洪峰設計，則取每年最高一次潮水位的平均值；如閘孔的設計流量按最大七天平均流量設計，則取每年最高連續七天的潮水位平均值，如此类推。

(2) 主要受上游洪峰

流量影响者，河道較陡而洪峰較大时往往沒有高潮倒灌現象，仅受高潮頂托，这种河道的最高的高(低)潮水位出現在上游洪峰流量下洩时的大潮日(圖 2-8 及 2-18)。这种河道的潮水位与河道流量一般皆有較好的“水位～流量”关系，如河道不再开挖，只要知道相应的河道流量便可求得相应的高(低)潮水位；如干河需开挖，则首先推求于河开挖后的“水位～流量”关系，再求標準潮型。洪峰与潮水位既有一定內在关系，也就沒有遭遇問題存在。这种河道上，一般不需兴建擋潮閘。

(3) 最高潮水位主要受台風影响，而最高的低潮水位主要受上游流量影响，河道平坦而河口淺窄的潮水位皆屬此类(圖 2-3)。每年最高潮水位的产生原因同第一种情况，其选择方法亦同，即采用历年平均最高潮水位作为標準潮型的高潮水位。每年最高的低潮水位的产生原因同第二种情况，其选择方法基本相同，即在河道不再开挖的情况下，首先求得低潮水位与相应低潮流量关系曲綫(圖 2-19)再以河道的計劃低潮流量自曲綫查得所需低潮水位。如查得的低潮水位过高而影响排水时，则可开挖閘下河道降低低潮水位，开挖断面采用下述近似方法計算：計劃低潮水位为 H 要求排出低潮流量为 Q ，但目前在該水位的过水面积为 A_1 及低潮流量为 Q_1 (自低潮水位～流量曲綫查得) 在流速不变的情况下所需的計劃过水面积 $A = \frac{Q}{Q_1} A_1$ ，则 H 即为標準潮型的低潮水位。

如上三种情况皆已考虑过闸流量对闸下潮水位的影响或最不利的情况，因此据以设计闸孔是安全的，但在计算

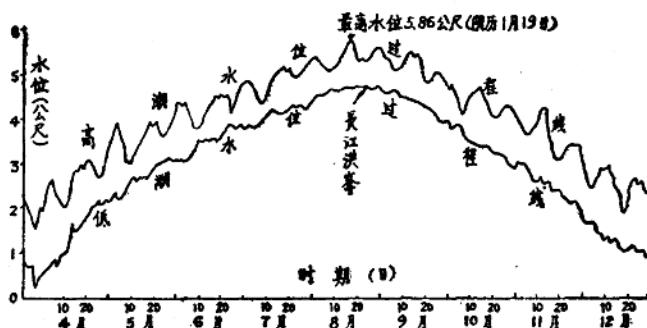


圖 2-18 三江營水位站1954年水位曲綫圖

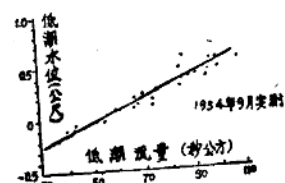


圖 2-19 北排水深六標低潮水位～低“潮流量”关系

过闸最大流量时在第一种情况下还需另取潮型，使其高（低）潮水位是历年平均最低的，方法相似。

如上三种情况，分别出现在河口，或出现在同一条河上如上游为第二种情况，中游为第三种情况而海口为第一种情况，因此应在建闸地点具体分析之。

如干河不宜兴建挡潮闸而需在支河口兴建挡潮闸时，如干河流域面积不大时，标准潮型的选择方法同前。如干流域面积很大，干支河洪峰不一定同时相遇，且频率也不同，则潮水位与干支河流量有关时还需首先解决干支流洪峰频率的组合问题，然后选择支河河口的标准潮型。如长江下游两岸兴建挡潮闸时便碰到这个问题。如最高潮水位受流量影响很小，方法同前。

（三）过闸流量的计算公式

目前我们采用的挡潮闸过闸流量的公式有二：一为湍流公式，一为合成波公式，前者适合于一般情况。后者适合于特殊情况。兹分述于下：

（1）湍流公式：挡潮闸一般采用平底闸，开闸排水时上下游落差不大，多呈沉溺式，通常采用矩形沉溺式宽顶堰公式（图2-20），即：

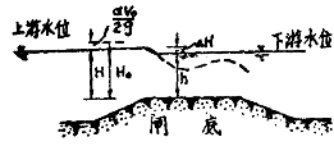


图 2-20 淹没宽顶堰

$$Q = mbh \sqrt{2g(H_0 - h)} \quad (2-11)$$

式中 Q ——流量，秒公方；

m ——流量系数。实测或查表（见水力学书）；

b ——挡潮闸净宽。公尺计；

h ——闸下水深，公尺计；

$H_0 = H + \frac{\alpha_0 V_0^2}{2g}$ · H 为闸上水深，公尺计。 V_0 为行近流速，秒公尺计， α_0 为系数，约等于 1。

有时为了计算方便，略去 $\frac{\alpha_0 V_0^2}{2g}$ 项，如上下水位差以 $\Delta H_0 = H_0 - h$ 表示，(2-11)式可简化为：

$$Q = mbh \sqrt{2g \Delta H_0} = M b h \sqrt{\Delta H} \quad (2-12)$$

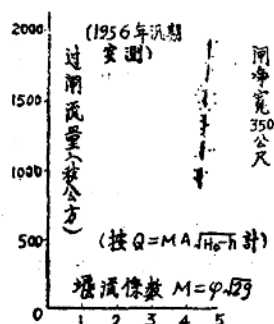
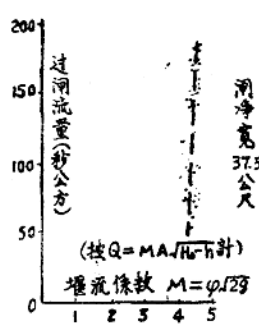
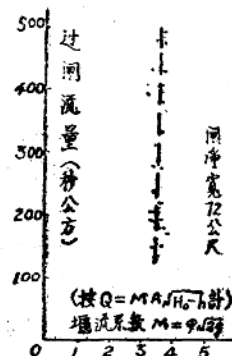
式中 $M = m \sqrt{2g}$ 或称为湍流流量系数。

当上下游水位差很大 ($\Delta H > \frac{H_0}{3}$) 产生射流时，为计算简便起见，实用中常采用德人彭胄氏公式，即

$$Q = ml \left(\frac{2}{3} H_0 \right) \sqrt{2g \left(\frac{H_0}{3} \right)} = 1.70 m b H_0^{3/2} \quad (2-13)$$

应用时常用不同闸上下水位计得不同过闸流量，点绘成“闸上水位～闸下水位～过闸流量”曲线，形式如图(2-14)。

挡潮闸过闸流量是否符合湍流公式？这个问题很容易被复杂的潮水现象所迷糊，曾经一度纠缠不清，但已建的苏北射阳河、斗龙港、小洋口及六垛北闸等挡潮闸的实测过闸流量资料所分析的湍流流量系数 M 是相当规律的（图 2-21, 2-22, 2-23, 2-24）也就是

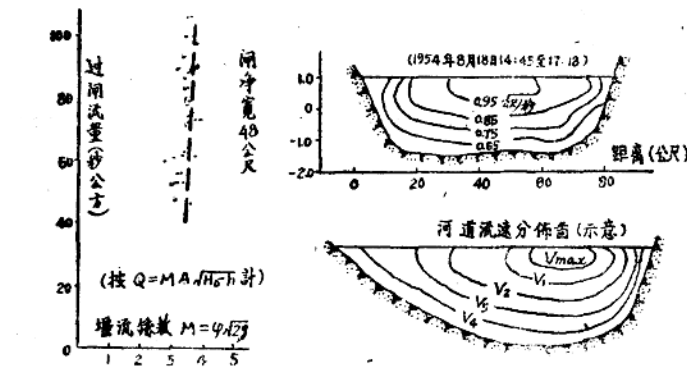
圖 2-21 射陽河擋潮閘堰
流量系數圖 2-22 斗龍港下明 擋潮閘
堰流量系數(1954年汛期实测)圖 2-23 小洋口擋潮閘堰
流量系數(1956年汛期实测)

說，擋潮閘的過閘流量也同樣符合堰流公式。前些時候，連擋潮閘上河道流速分布情況也懷疑是否與不受潮汐影響的河道不同，事實證明它和一般明渠水流特性相似(圖2-25)，

可以按照普通河道的流量測量方法測驗瞬時流量。

因此，如能正確地求得逐時的閘上下水位，即逐時閘上半日河川水庫水位及閘下潮水位，便能得出正確的過閘流量。但逐時變化的閘上下水位需由閘上半日河川水庫及閘下潮水位需進行綜合演算才能求得(詳後)。

(2) 合成波公式：此

圖 2-24 六垛北閘(擋潮閘)
堰流系数圖 2-25 擋潮閘上河道與一
般河道流速分佈比較

式系由南京水利實驗處提出，適用於潮水位未受地形阻力及水深等影響，而維持其移動波的性質時，對河口十分寬深略受地形影響者，可得近似結果。

1. 波速與流速：採用魯塞爾氏移動波的波速公式①或不變形前進波的波速公式②：

$$C = Vg(D + h) \quad (2-14)$$

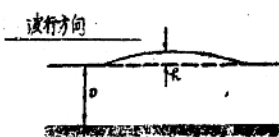
式中 C 為波速， D 為中水位的水深， h 為中水位以上某點的波高(圖 2-26)。該式的先決條件為：

a. 渠道斷面及坡度均須一律。

b. 阻力不發生作用。

c. 波高比水深小得多。

由於波動而引起的水分子流速 V 為

圖 2-26 魯塞爾移動波及不
變形前進波

① 魯塞爾公式見 Earl I. Brown, M. Am. Soc. C.E. "Flow of water in Tidal canals".

② 工程建設 13 期：“不變形的前進波”顧兆勳著

$$V = \frac{Ch}{D+h} = h \sqrt{\frac{g}{D+h}} \quad (2-15)$$

应用該式的先决条件为中水位时($h=0$)流速等于0。

2. 潮波能量：潮波在渠道中任一点之能量可分为二，一为位能，一为动能，位能以波高表示之，單位波長的位能 E_P 为：

$$E_P = \frac{1}{2} \rho g b h^2 \quad (2-16)$$

式中 ρ 为水之密度。 b 为中水位的水面宽度。

动能以波速表示之。單位波長的动能 E_K 为：

$$E_K = \frac{1}{2} \rho b (D+h) V^2 \quad (2-17)$$

以(2-15)式代入(2-17)式得

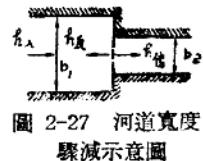
$$E_K = \frac{1}{2} \rho g b h^2 = E_P \quad (2-18)$$

故潮波之动能与位能相等，这是指均匀無限長的渠道的單向波而言，其总能量 E 为：

$$E = \frac{1}{2} \rho g b h^2 + \frac{1}{2} \rho b (\theta + h) V^2 = \rho b g h^2 \quad (2-19)$$

3. 潮波的变化：应用能量不灭和水流連續原理，推知渠道断面变化对于潮波的影响如下：

a. 渠道水深不变而宽度突然变化（圖 2-27）：原渠道水面寬 b_1 突变为 b_2 。在渠道中推进之潮波一部分反射。前者为傳进波，波高为 $h_{傳}$ ；后者为反射波，波高为 $h_{反}$ ，原来向前推进的潮波为入射波。波高以 h_{λ} 表示。按水流連續性原理及能量守恒定理得：



$$h_{傳} = \frac{2b_1}{b_1+b_2} h_{\lambda} \quad (2-20)$$

$$h_{反} = \frac{b_1-b_2}{b_1+b_2} h_{\lambda} \quad (2-21)$$

6. 渠道水面宽度不变而水深突然变化（圖 2-28）：渠道水深由 D_1 突变为 D_2 ，假定波高不大，根据連續性原理及能量守恒原理同样可得：

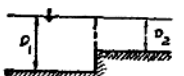


圖 2-28 河道水深
驟減示意圖

$$\text{故 } h_{傳} = \frac{2L_1}{L_1+L_2} h_{\lambda} = \frac{2\sqrt{D_1}}{\sqrt{D_1}+\sqrt{D_2}} h_{\lambda} \quad (2-22)$$

$$h_{反} = \frac{L_1-L_2}{L_1+L_2} h_{\lambda} = \frac{\sqrt{D_1}-\sqrt{D_2}}{\sqrt{D_1}+\sqrt{D_2}} h_{\lambda} \quad (2-23)$$

b. 水深与宽度同时突变（圖 2-29）：

設矩形渠道原水面寬 b_1 ，水深 D_1 各突变为 b_2 及 D_2 ；則在河道中推进之潮波至断面突变处之波高 = h_{λ} ，該波將生显著变化分为二部分；一为傳进波，波高 = $h_{傳}$ ；一为反射波，波高 = $h_{反}$ ，其值各为：

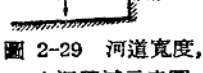


圖 2-29 河道宽度，
水深驟減示意圖

$$h_{傳} = \frac{2b_1\sqrt{D_1}}{b_1\sqrt{D_1}+b_2\sqrt{D_2}} h_{\lambda} \quad (2-24)$$

$$h_{\text{反}} = \frac{b_1 \sqrt{D_1} - b_2 \sqrt{D_2}}{b_1 \sqrt{D_1} + b_2 \sqrt{D_2}} h_{\text{入}} \quad (2-25)$$

4. 潮波的合成：假定兩波在渠道中相遇，能量分別為 E_1 及 E_2 則合成波的總能量 E 為：

$$E = E_1 + E_2 = \frac{1}{2} \rho g b (h_1^2 + h_2^2) + \frac{1}{2} \rho b (D + h_1 + h_2) (V_1^2 + V_2^2) \quad (2-26)$$

上式以合成後之水深 $(D + h_1 + h_2)$ 代替 $(D + h_1)$ 或 $(D + h_2)$ 合成波中個別波的流速由 (2-15) 式為

$$V_1 = h_1 \sqrt{\frac{g}{D + h_1 + h_2}} \text{ 及 } V_2 = h_2 \sqrt{\frac{g}{D + h_1 + h_2}}$$

則 $V_1 V_2 = \frac{gh_1 h_2}{D + h_1 + h_2}$

$$\frac{1}{2} \rho b \times 2V_1 V_2 (D + h_1 + h_2) = \frac{1}{2} \rho b g \times 2h_1 h_2 \quad (2-27)$$

(2-26) 式加減 (2-27) 式得：

$$E = \frac{1}{2} \rho b g (h_1 \mp h_2)^2 + \frac{1}{2} \rho b (D_1 + h_1 + h_2) (V_1 \pm V_2)^2 \quad (2-28)$$

若 $h_1 + h_2 = h_3$ 則必 $V_1 - V_2 = V_3$
 $h_1 - h_2 = h_3$ 則必 $V_1 + V_2 = V_3$

因此得到如下結論：

a. 運行方向相反的兩波在某點相遇，若兩波均為正波或均為負波。則合成波高為兩波波高之和，合成流速則為兩波流速之差。

b. 若兩波一為正波，一為負波，則合成波之波高將為兩波波高之差，合成流速為二波流速之和。

5. 渠道內合成波的波高及流速：渠道中推進的潮波在渠道斷面有突變，則必產生反射波，故渠道中至少有兩個波同時存在。一為原來的入射波，一為反射波。該河段內任

一瞬間任一斷面的實際波高為此一瞬間入射波與反射波的代數和，而其實際流速則為入射波與反射波流速的代數差，一般兩次以上反射波的能量因受摩擦損失而漸趨微弱，可以略而不計。若渠道兩端水位均有獨立變化，例如一端與海洋連接，另一端與河川水庫連接，海洋潮水位與水庫水位皆有周期性漲落，因此渠道內除有自河口向水庫推進之潮波及其反射波運動外，尚有一波自水庫向河口推進，則在該渠道內至少有三個波同時存在，每一時間的瞬時合成波高 h 及合成流速可在實測潮型曲線中讀出，即：

● 南京水利實驗處：“研究試驗報告彙編”1954年 P. P. 278, 279.

如水流斷面為一般形狀則 $h_{\text{傳}} = \frac{2\sqrt{F_1 b_1}}{\sqrt{F_1 b_1} + \sqrt{F_2 b_2}} h_{\text{入}}$; $h_{\text{反}} = \frac{\sqrt{F_1 b_1} - \sqrt{F_2 b_2}}{\sqrt{F_1 b_1} + \sqrt{F_2 b_2}} h_{\text{入}}$

式中： F_1 =原河道水流斷面；

F_2 =突變處河道水流斷面。